

## 온도 변화에 대한 지방산 LB막의 전기적 특성

### Electric Characteristics of Fatty Acid LB Films for Change of Temperature

이준호\*, 김도균\*, 최용성\*, 장정수\*\*, 권영수\*  
 Jun-Ho Lee\*, Do-Kyun Kim\*, Yong-Sung Choi\*, Jeong-Soo Chang\*\*, Young-Soo Kwon\*

\*동아대학교 전기공학과, \*\*경일대학교 전기공학과

\*Dept. of Electrical Eng. Dong-A University.

\*\*Dept. of Electrical Eng. Kyung-II University.

#### Abstract

The electrical characteristics of Stearic acid LB films were investigated to develop the gas sensor using Langmuir-Blodgett(LB) films. The deposition status of LB films were verified by the measurements of UV absorbance and I-V characteristics. The conductivity of Stearic acid LB films at room temperature was  $10^{-8}[\text{S}/\text{cm}]$ , which is typical of semiconductor. The conductivity was found to increase as the temperature was increased. The activation energy was about 1[eV].

**Key words(주요용어)** : Langmuir-Blodgett method(LB법), I-V characteristics(전압-전류 특성), Activation energy(활성화에너지), Conductivity(전기전도도)

#### 1. 서 론

최근 환경 오염으로 인한 피해가 늘어나고 있으며 그중에서 대기 오염의 심각성이 커지고 있다. 이러한 오염으로부터 발생되는 각종 유해 가스를 검출할 수 있는 센서 소자의 개발의 필요성이 강조되고 있다. 이러한 센서를 만들기 위해서는 소형화와 집적화에 대한 연구와 고감도를 갖는 감응성 막의 개발이 매우 중요하다.<sup>1,2)</sup>

본 연구에서는 직접화가 가능하고 분자의 배향·배열을 자유로이 제어할 수 있는 특징을 가지는 Langmuir-Blodgett(LB)법으로 LB막을 제작하였다. 제작된 LB막을 가스 센서로 활용하기 위해서 LB막의 안정성과 전기적 성질을 조사하기 위해 누적 충수에 대한 UV흡광도와 전압-전류 특성을 조사하였으며, 또한 온도에 대한 LB막의 전기적 특성을 조사하였다.

#### 2. 시료 및 실험 방법

본 실험에서는 LB막의 누적이 용이한 것으로 알려져 있는 Stearic acid를 시료로 하여 LB막을 제작하였다. Stearic acid의 분자식은

$\text{CH}_3(\text{CH})_{16}\text{COOH}$ 이고, 분자량은 284.48[g]이며, 융점과 비점은 각각 70.5, 283[°C]이다. 클로로포름을 용매로 사용하여 1[mmol/l]의 농도가 되도록 하였다.

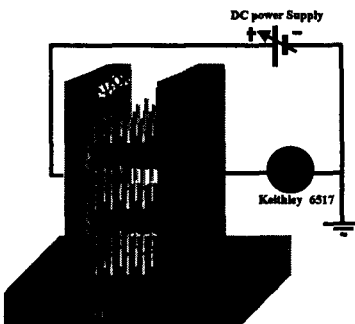


그림 1. 전극 구조와 전기적 특성 측정 회로

Fig. 1. Electrode structure and measurement circuit for electrical characteristics

LB막을 누적하기 위한 기판은 현미경용 slide-glass로서 아세톤과 중류수로 초음파 세척하여 친수성 처리하였다. 전극은  $6 \times 10^{-5}[\text{Torr}]$ 의 진공도에

서 유리기판에 Al을 증착하여 형성하였다. LB막의 UV 흡광도를 측정하기 위한 수정셀도 같은 방법으로 세척하여 사용하였으며, UV 흡광도는 KONTRIN UVIKON 860을 사용하여 측정하였다. 그리고, LB막은 NLE사의 Moving Wall Type 장치를 사용하여 누적하였으며, I-V 특성은 Keithley 6517 electrometer를 사용하여 측정하였다. 또한 반응셀의 내부의 온도는 circulator를 이용하여 제어하였다. 그림 1은 전극의 구조 및 I-V 측정용 회로도이다.

### 3. 실험 결과 및 검토

그림 2는 수정셀 기판에 LB막이 양호하게 누적되었음을 확인하기 위하여 LB막의 충수마다 UV 흡광도를 측정한 것이다. 그림 2에서 알 수 있듯이 LB막의 누적 충수에 따라 UV 흡광도가 증가하므로 LB막이 양호하게 누적되어 있음을 알 수 있다.<sup>3)</sup>

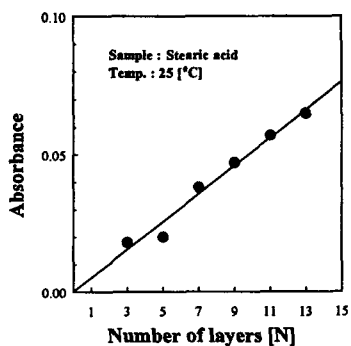


그림 2. Stearic acid LB막의 누적 충수에 대한 UV 흡광도

Fig. 2. Relation between UV absorbance and number of layers of stearic acid LB films.

그림 3은 LB막의 I-V 특성으로서 그림 1의 측정 회로를 사용하여 LB막에 1[V]씩 전압을 인가시키면서 전류가 안정될 때의 값을 나타낸 것이다. 본 연구에서는 1분 정도에서 전류가 안정되었다.

그림 3에서 누적 충수가 증가함에 따라 전류가 선형적으로 증가함을 알 수 있으며 또한, 막이 양호하게 누적되었음을 알 수 있었다. 이러한 현상이 일어나는 이유는 LB막의 누적충수에 따라 전극 면적 이 증가되기 때문으로 생각된다.

그림 3의 I-V 특성의 기울기로부터 LB막의 저항  $R_N$ 을 구하면 전기전도도  $\sigma$ 는 식 (1)에 의하여 구할 수 있다.<sup>4)</sup>

$$\sigma = \frac{d_{ele}}{R_N \cdot S_0 \cdot N} \quad (1)$$

여기서,  $d_{ele}$ 은 전극간의 거리이며,  $S_0$ 은 LB막의 전극 면적으로 1층당 면적은 약  $4.5 \times 10^{-7} [\text{cm}^2]$ 이었다.

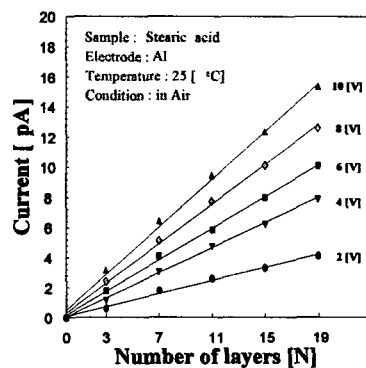


그림 3. 누적 충수에 대한 전압-전류 특성

Fig. 3. I-V characteristics according to number of layers of LB films

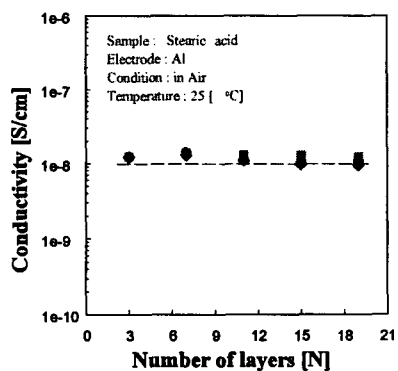


그림 4. Stearic acid LB막의 전기전도도

Fig. 4. Electrical conductivity of Stearic acid LB films

그림 4는 식 (1)에 의하여 구한 Stearic acid LB막의 전기전도도를 누적 충수에 대하여 나타낸 것이다. 그림 4에서 수평방향 LB막의 전기전도도는 약  $10^{-8} [\text{S}/\text{cm}]$ 로서, 수직 방향 LB막의 전기전도도

인  $10^{-14}$  [S/cm]과는  $10^6$  [S/cm] 정도의 차이를 나타내었으며, 반도전성 물질에 상당한 크기이었다.<sup>5)</sup>

그림 5는 Stearic acid LB막의 온도에 따른 전류 특성을 나타낸 것이다. 온도가 증가할수록 전류가 선형적으로 증가함을 알 수 있다.

그림 6은 식(1)을 이용하여 온도에 따른 전기전도도 특성을 나타낸 것이다. 그림 6에서 온도가 증가할수록 전기전도도는 증가하였으며, 그림 5 와 6에서 구한 활성화 에너지는 약 1eV 정도였다.

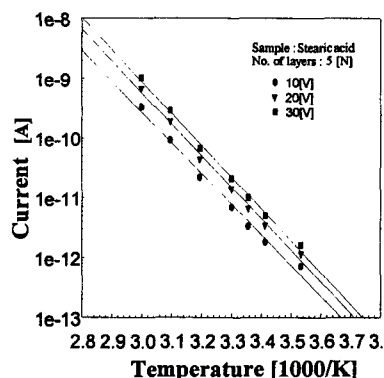


그림. 5. LB막의 온도-전류 특성

Fig. 5. Current-Temperature characteristic for LB films

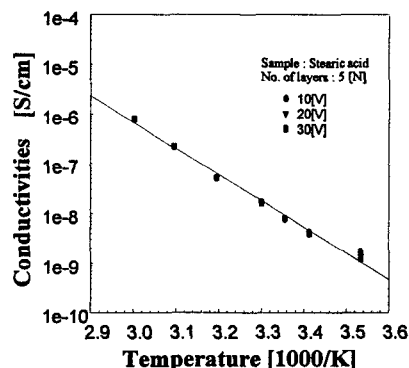


그림. 6. LB막의 온도-전기전도도 특성

Fig. 6. Conductivity-Temperature characteristic for LB films

#### 4. 결 론

Stearic acid LB막을 제작하여 누적 충수와 온도에 대한 전기적 특성을 측정하여 다음과 같은 결과를 얻었다.

- 1) UV 흡광도를 측정하여 LB막이 양호하게 누적되었음을 확인할 수 있었다.
- 2) 누적 충수에 따른 I-V 특성을 측정하여 인가 전압에 따라 전류가 선형적으로 증가함으로써 누적이 양호하게 되었음을 확인할 수 있었다.
- 3) Stearic acid LB막의 전기전도도는 약  $10^{-8}$  [S/cm]로서 반도전성 물질에 상당한 크기이었다.
- 4) 온도에 따른 전기전도도 특성을 측정하여 온도가 증가함에 따라 전기전도도가 증가하다는 것을 알 수 있었으며, 활성화 에너지가 약 1eV 이었다.

#### 감사의 글

본 연구는 한국과학재단 (과제번호 : 97-01-01-07-01-5) 연구비의 지원에 의해서 수행되었음

#### 참고문현

1. W. GÖpel, "Solid-state chemical sensors : atomistic models and research trends", Sensors and Actuators, **16**, pp.167~193, 1989
2. 홍병호, 임병국, "센서 일렉트로닉스" 大光書林, pp.25~42, 1995.
3. Galen W. Ewing, "Instrumental Methods Chemical Analysis", McGraw-Hill, New York, p.35, 1975
4. 권영수, et al., "LB초박막의 누적기술과 이방성 전기전도", 전기학회논문지, 40권, 1호, pp.82~90, 1991
5. 省部博之, "導電性高分子材料", CMC, p.2, 1983